

# Kolektywne stany kwadrupolowe w teorii średniego pola

L. Próchniak

Instytut Fizyki UMCS, Lublin

Wstęp

Teoria

Zastosowania

Izotopy Mo

Aktynowce

Jądra nieparzysto-nieparzyste. Model CPHC

## Wstęp

- ▶ Punkt wyjścia: teoria średniego pola z oddziaływaniami Skyrme'a (czasem RMF)
- ▶ Deformacje kwadrupolowe
- ▶ Stany kolektywne (o parzystości dodatniej), hamiltonian Bohra, ATDHFB
- ▶ Model rdzeń-cząstka-dziura dla jąder nieparzysto-nieparzystych
- ▶ Zastosowania: jądra z  $A \geq 70$ , raczej nie magiczne

## Zmienne kwadrupolowe

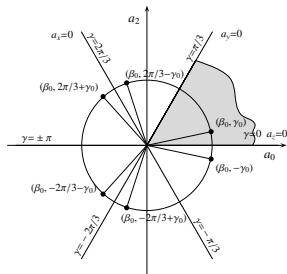
1. Tensor kwadrupolowy rozkładu masy  $Q_{2\mu} = \langle \Psi | \sum_i r_i^2 Y_{2\mu}(i) | \Psi \rangle$
2. Rozwinięcie powierzchni jądra w  $Y_{lm}$ ,  $r(\alpha) = r_0(1 + \sum_{\mu} \alpha_{\mu}^* Y_{2\mu})$
3. Elipsoida (np. powierzchni jądra lub potencjału jednocząstkowego)

Układ osi głównych (wewnętrzny)

$$R(\Omega) \{ \alpha_{\mu} \} \longrightarrow \{ \tilde{\alpha}_0, \tilde{\alpha}_1 = \tilde{\alpha}_{-1} = 0, \tilde{\alpha}_2 = \tilde{\alpha}_{-2} \}$$

Zmienne  $\beta, \gamma$  opisujące deformację

$$\begin{aligned} \beta \cos \gamma &= \tilde{\alpha}_0 \\ \beta \sin \gamma / \sqrt{2} &= \tilde{\alpha}_2 = \tilde{\alpha}_{-2} \end{aligned}$$



## Zmienne kwadруполowe w teorii średniego pola

Zmienne  $\beta, \gamma$

$$\beta \cos \gamma = cq_0 = c\langle\Psi|Q_0|\Psi\rangle = \langle\Psi|\sum_{i=1}^A(3z_i^2 - r_i^2)|\Psi\rangle$$

$$\beta \sin \gamma = cq_2 = c\langle\Psi|Q_2|\Psi\rangle = \langle\Psi|\sum_{i=1}^A\sqrt{3}(x_i^2 - y_i^2)|\Psi\rangle$$

$$c = \sqrt{\pi/5}/A\bar{r}^2 \quad \bar{r}^2 = 3/5r_0^2A^{2/3}, \quad r_0 = 1.2 \text{ fm}$$

Obliczenia typu HFB z więzami  $\rightarrow \Psi(\beta, \gamma)$

$$\delta\langle\Psi|H_{\text{micr}} - \lambda_0Q_0 - \lambda_2Q_2|\Psi\rangle = 0$$

$$\langle\Psi|Q_0|\Psi\rangle = q_0, \quad \langle\Psi|Q_2|\Psi\rangle = q_2$$

## Szczegóły obliczeń

- ▶ Dobrze znane wersje oddziaływań Skyrme — SIII i SLy4, SkM\*
- ▶ Oddziaływanie pairing: seniority (stałe  $G$ ),  $G \sum_{\nu} a_{\nu}^{+} a_{\bar{\nu}}^{+} a_{\nu} a_{\bar{\nu}}$   
oddziaływanie  $\delta$ :  $V_0 \delta(\mathbf{r} - \mathbf{r}')$ , lub  $V_0(\rho(\mathbf{r})) \delta(\mathbf{r} - \mathbf{r}')$ , e.g.  $V_0(\rho) = 1 - \rho(\mathbf{r})/\rho_0$
- ▶ Natężenie oddziaływania pairing z różnic mas
- ▶ Po ustaleniu średniego pola — tylko  $Z$  i  $N$

## Adiabatic Time Dependent HFB

ATDHFB **plus kilka przybliżeń**

Hamiltonian kolektywny ( $\mathbf{q}$ )

Energia kinetyczna, tensor masowy  $B$

$$T(\mathbf{q}) = -\frac{\hbar^2}{2} \frac{1}{\sqrt{\det B}} \sum_{k,j} \frac{\partial}{\partial q_k} \sqrt{\det B} (B^{-1})_{kj} \frac{\partial}{\partial q_j}$$

Energia potencjalna

$$V(\mathbf{q}) = \langle \Psi(\mathbf{q}) | H_{\text{micr}} | \Psi(\mathbf{q}) \rangle$$

## ATHFB w układzie wewnętrznym

Wibracyjne parametry masowe

$$B_{q_i q_j} = \hbar^2 (S_{(1)}^{-1} S_{(3)} S_{(1)})_{ij}, \quad i, j = 0, 2$$

$$(S_{(n)})_{ij} = \sum_{\mu, \nu} \frac{\langle \mu | Q_i | \bar{\nu} \rangle \langle \bar{\nu} | Q_j | \mu \rangle}{(E_\mu + E_\nu)^n} (u_\mu v_\nu + u_\nu v_\mu)^2$$

Momenty bezwładności

$$J_k = \hbar^2 \sum_{\mu, \nu} \frac{|\langle \nu | j_k | \bar{\mu} \rangle|^2 (u_\mu v_\nu - u_\nu v_\mu)^2}{(E_\mu + E_\nu)}$$

Czynnik 1.3



## Hamiltonian kwantowy w układzie wewnętrznym

### Ogólny hamiltonian Bohra

$$H_{\text{Bohr}} = T_{\text{vib}} + T_{\text{rot}} + V$$

$$T_{\text{vib}} = -\frac{1}{2\sqrt{wr}} \left\{ \frac{1}{\beta^4} \left[ \partial_{\beta} \left( \beta^4 \sqrt{\frac{r}{w}} B_{\gamma\gamma} \right) \partial_{\beta} - \partial_{\beta} \left( \beta^3 \sqrt{\frac{r}{w}} B_{\beta\gamma} \right) \partial_{\gamma} \right] + \right. \\ \left. + \frac{1}{\beta \sin 3\gamma} \left[ -\partial_{\gamma} \left( \sqrt{\frac{r}{w}} \sin 3\gamma B_{\beta\gamma} \right) \partial_{\beta} + \frac{1}{\beta} \partial_{\gamma} \left( \sqrt{\frac{r}{w}} \sin 3\gamma B_{\beta\beta} \right) \partial_{\gamma} \right] \right\}$$

$$T_{\text{rot}} = \frac{1}{2} \sum_{k=1}^3 I_k^2(\Omega) / J_k; \quad J_k = 4B_k(\beta, \gamma) \beta^2 \sin^2(\gamma - 2\pi k/3)$$

$$w = B_{\beta\beta} B_{\gamma\gamma} - B_{\beta\gamma}^2; \quad r = B_x B_y B_z$$

### Energie, B(E2), momenty kwadrupolowe

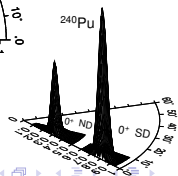
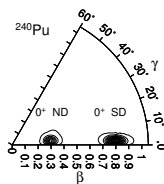
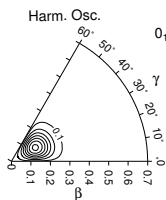
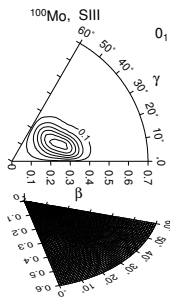
## Hamiltonian kwantowy cd.

## Funkcje falowe

$$\Psi_{IM\xi}^{(\text{coll})}(\beta, \gamma, \Omega) = \sum_{K=0(2), \text{even}}^{I \text{ or } I-1} F_{IK\xi}(\beta, \gamma) \phi_{MK}^I(\Omega)$$

## Rozkłady prawdopodobieństwa

$$P_{I\xi}(\beta, \gamma) = \sum_K |F_{IK\xi}(\beta, \gamma)|^2 \sqrt{wr} \beta^4 |\sin 3\gamma|$$

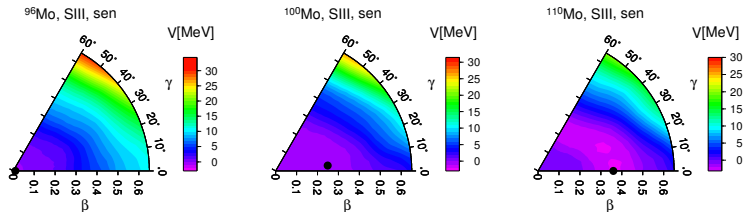


## Izotopy $^{84-110}\text{Mo}$ (p-p)

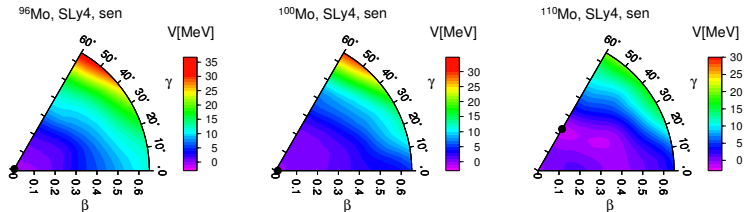
- ▶ Izotopy  $^{84-110}\text{Mo}$  (prawie wszystkie spośród znanych), nieco dokładniej:
- ▶  $^{96-100}\text{Mo}$ , M. Zielińska, K. Wrzosek-Lipska
- ▶  $^{110}\text{Mo}$

## Energia potencjalna (wybrane izotopy)

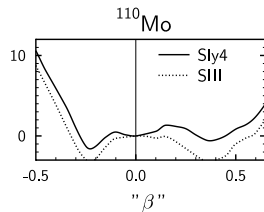
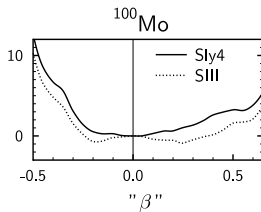
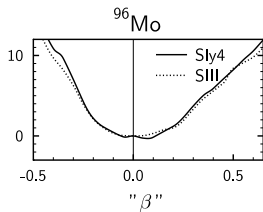
## Wersja SIII



## Wersja SLy4

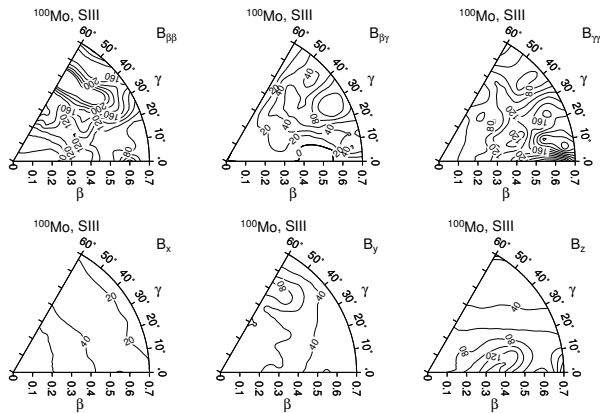


## Energia potencjalna cd.



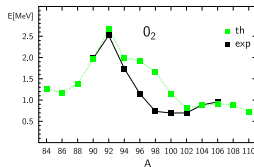
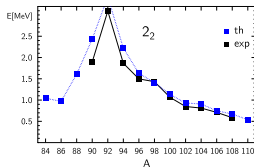
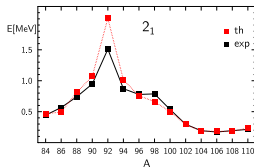
Izotop  $^{100}\text{Mo}$ . Parametry masowe

## Wersja Skyrme SIII

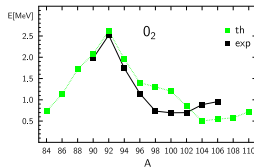
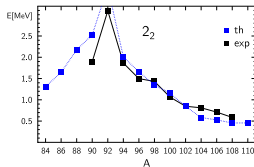
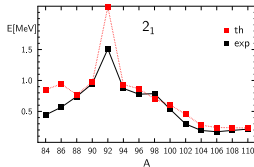


## Wyniki. Poziomy energetyczne

SIII

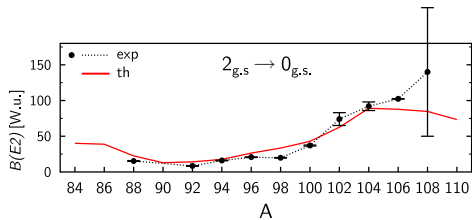


SLy4

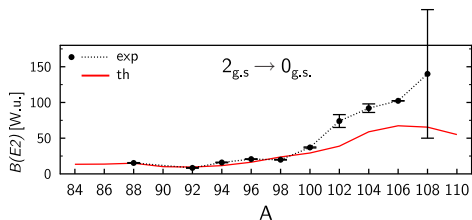


Wyniki. Przejścia  $E2$   $2_{g.s.} \rightarrow 0_{g.s.}$ 

SIII



SLy4



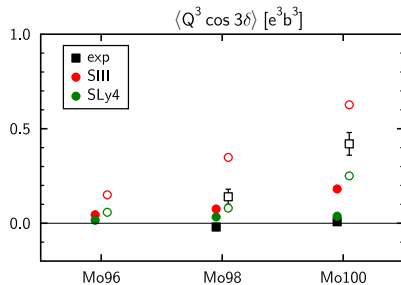
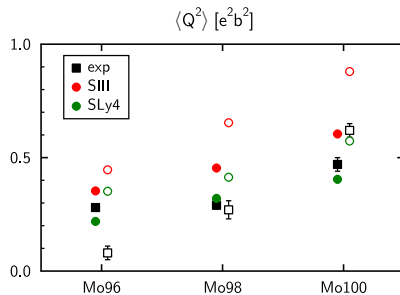


Niezmienniki E2. Izotopy  $^{96-100}\text{Mo}$ 

$$[E2 \times E2]^0 \sim Q^2$$

$$[[E2 \times E2]^2 \times E2]^0 \sim Q^3 \cos 3\delta$$

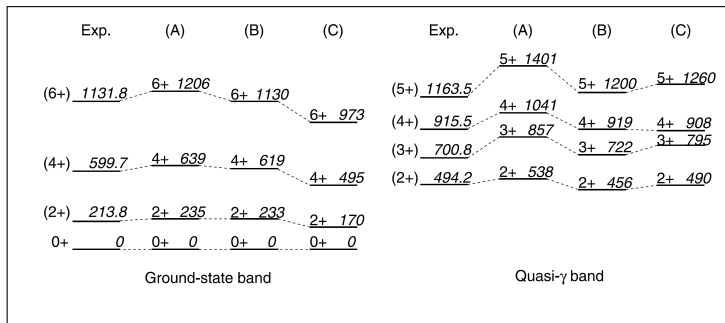
$$\langle i || Q^2 || i \rangle \sim \sum_t \langle i || E2 || t \rangle \langle t || E2 || i \rangle$$

Poziomy  $0_{g.s}$  i  $0_2^+$ 

Daleko od  $\beta$  stabilności.  $^{110}\text{Mo}$  (i  $^{114}\text{Ru}$ )

Czas życia 0.27 s

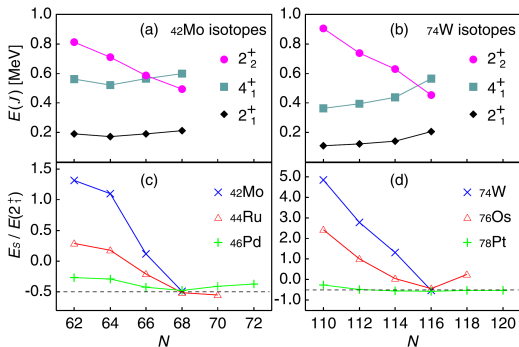
H. Watanabe et al, Phys.Lett. B 704 (2011) 270



(A) SIII, (B) Sly4, (C) QRPA Q+P (Hinochara et al.)

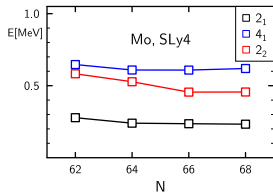
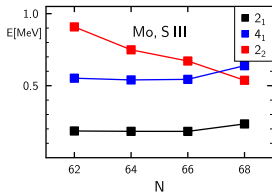
$^{110}\text{Mo}$ , cd.

Exp



$$E_S = E_{2_2^+} - E_{4_1^+}$$

Th

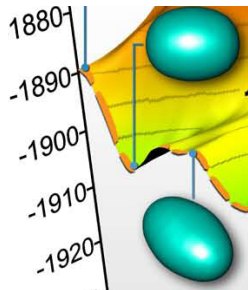
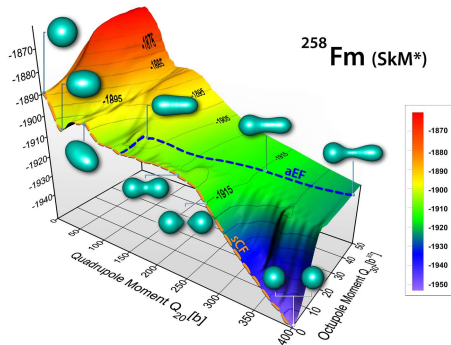


## Kilka uwag

- Niezła zgodność z doświadczeniem
- Interesujące problemy:
  - zamknięta powłoka  $N = 50$ ,
  - nisko leżące stany  $0^+$  w  $^{96-100}\text{Mo}$
- Jakie średnie pole wybrać?

Aktywność  $^{238}\text{U}$ ,  $^{240,242}\text{Pu}$ ,  $^{246,248}\text{Cm}$ ,  $^{250,252}\text{Cf}$ 

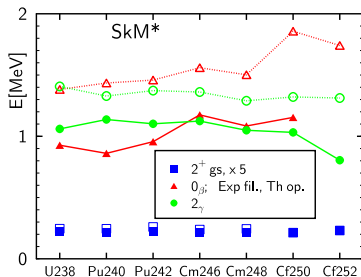
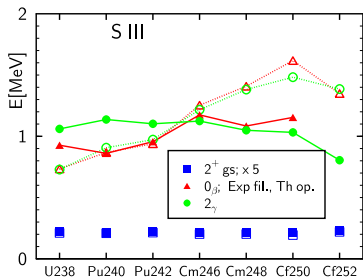
Jądra superciężkie, spontaniczne rozszczepienie.



A.Staszczak, A.Baran, J.Dobaczewski, W.Nazarewicz, Phys.Rev. C **80**, 014309 (2009)

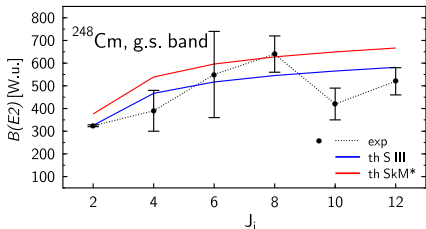
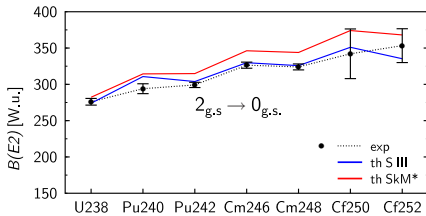
# Aktywnowce $^{238}\text{U}$ , $^{240,242}\text{Pu}$ , $^{246,248}\text{Cm}$ , $^{250,252}\text{Cf}$

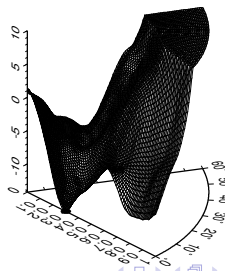
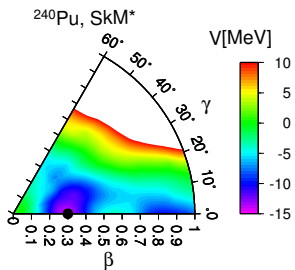
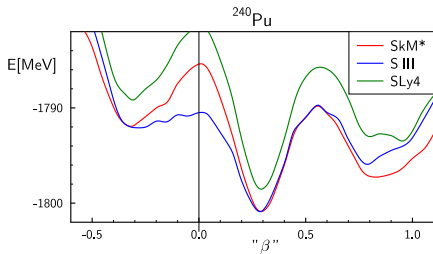
## Poziomy $2_1$ , $0_2$ , $2_2$



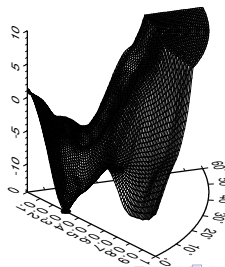
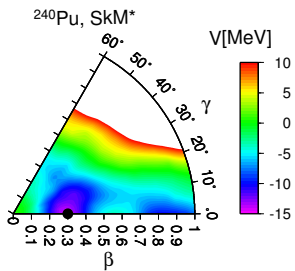
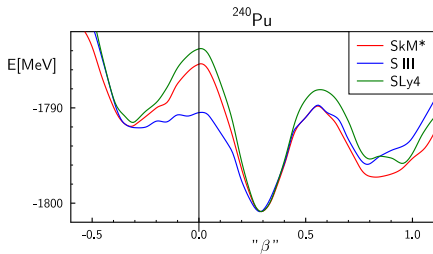
Poprawka wibracyjna dla  $2_1^+$ : 10–15 keV  
 $2(2 + 1)/2J(\text{min})$

# Aktywnce $^{238}\text{U}$ , $^{240,242}\text{Pu}$ , $^{246,248}\text{Cm}$ , $^{250,252}\text{Cf}$ Przejścia E2



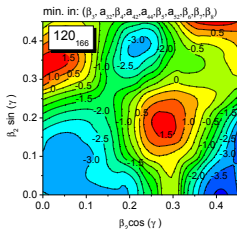
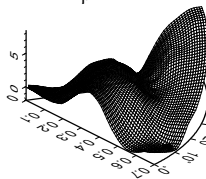
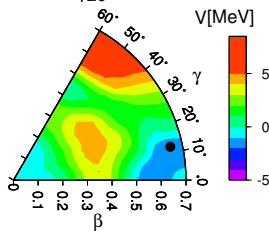
Energia potencjalna  $^{240}\text{Pu}$ 



Energia potencjalna  $^{240}\text{Pu}$ 

Stany w drugim minimum,  $^{240}\text{Pu}$ 

	J	#	$\langle\beta\rangle$	$\langle\gamma\rangle$	E	$E_{SD}$	Exp
ND	0	1	0.299	8.09			
	2	1	0.299	8.07	0.046		0.043
	0	2	0.315	10.54	1.420		0.861
	2	3	0.315	10.50	1.470		0.900
	2	2	0.314	13.07	1.347		1.137
SD	0	8	0.829	2.94	4.321		2.55
	2	13	0.829	2.94	4.342	0.021	0.020
	0	12	0.836	3.52	5.472	1.151	0.770
	2	20	0.835	3.53	5.494	1.173	0.785

Jądra SDO (superoblate),  $Z \sim 118$ ,  $N \sim 164$ P. Jachimowicz, M. Kowal and J. Skalski  
Phys. Rev. C 83, 054302 (2011) $Z = 120$ ,  $N = 166$ , SkM\* $^{286}_{120}$ 

## Model Core-Particle-Hole Coupling

$$|\text{odd} - \text{odd}, i\rangle = \sum_{j,k,m} U_{jkm}^i |\text{core}, j\rangle |p, k\rangle |n, m\rangle$$

$$H_{\text{o-o}} = H_{\text{core}} - \chi Q q_p - \chi Q q_n - \chi' q_p q_n + h_p + h_n$$

$Q, q_{p,n}$  — operatory kwadrupolowe

► Rdzenie:

Hamiltonian Bohra ( $\beta, \gamma, \Omega$ );

sztwy rotor (Davydov-Filipov); ( $\Omega$ ); [ $\tilde{\beta}, \tilde{\gamma}$  — fixed ]

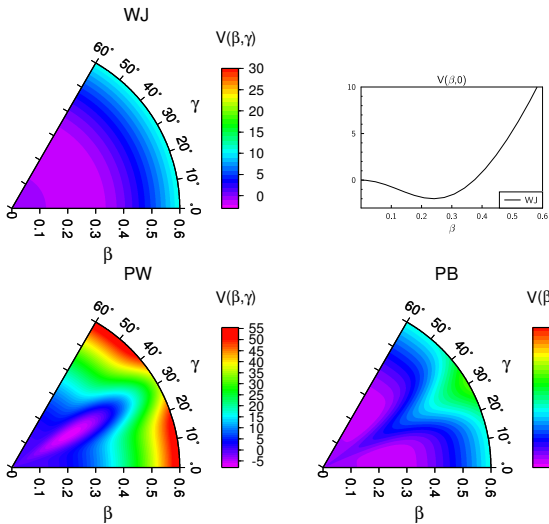
► Sektor jednocząstkowy:

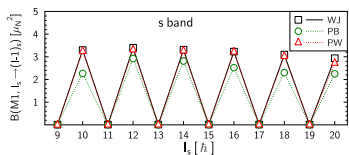
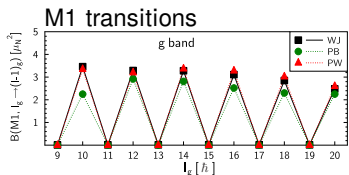
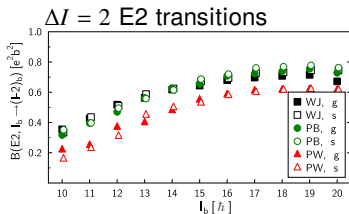
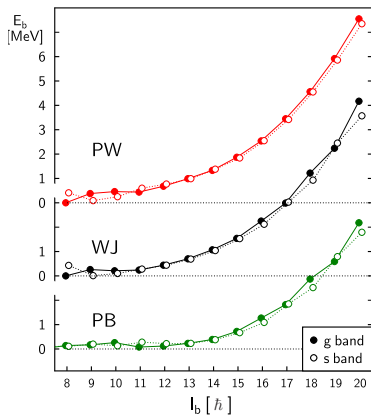
$$p h_{11/2} \otimes n h_{11/2}^{-1}, \quad A \sim 130$$

Ch. Droste, S.G. Rohoziński, K. Starosta

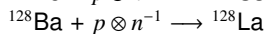
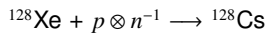
## Przykłady $S$ symetrycznych hamiltonianów

Wilets-Jean, studnia potencjału, bariera (w zmiennej  $\gamma$ ).  
SKE (jeden stały parametr masowy)



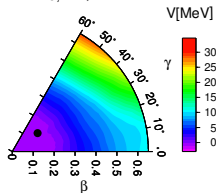
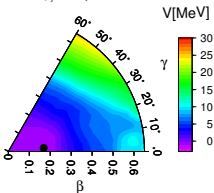
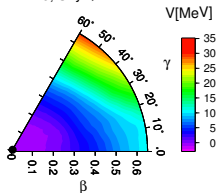
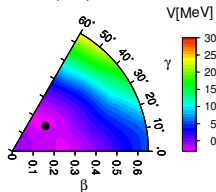
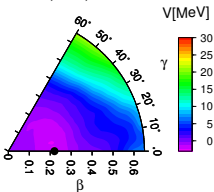
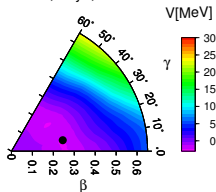
Wyniki dla hamiltonianów  $S$  symetrycznych

## Rdzenie obliczone mikroskopowo

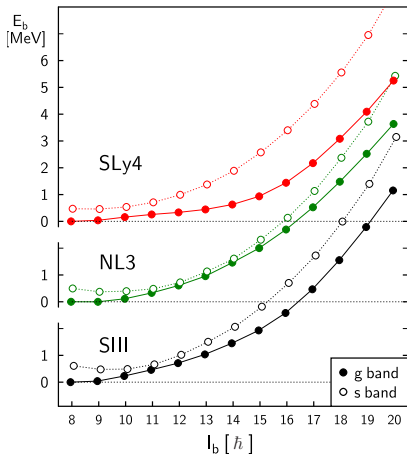


- ▶ Pole średnie: Skyrme SIII i SLy4, RMF NL3

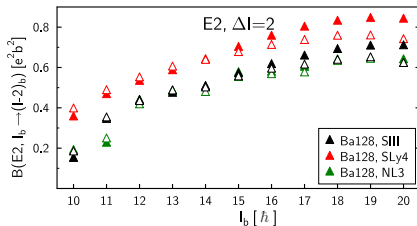
## Rdzenie obliczone mikroskopowo, energia potencjalna

 $^{128}\text{Xe}$  $^{128}\text{Xe}$ , SIII, sen $^{128}\text{Xe}$ , NL3, sen $^{128}\text{Xe}$ , SLy4, sen $^{128}\text{Ba}$  $^{128}\text{Ba}$ , SIII, sen $^{128}\text{Ba}$ , NL3, sen $^{128}\text{Ba}$ , SLy4, sen



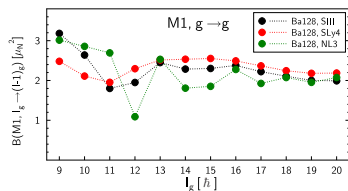
Jądro odd-odd z rdzeniem  $^{128}\text{Ba}$ 

## E2 in-band transitions

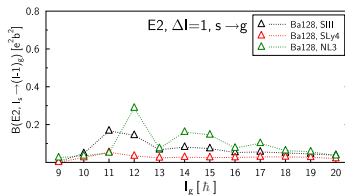
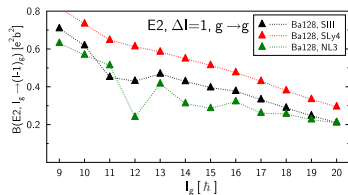
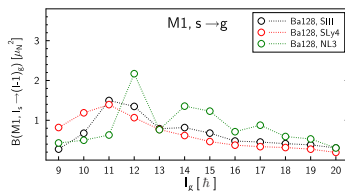


Jądro odd-odd z rdzeniem  $^{128}\text{Ba}$ , cd. $\Delta I = 1$  M1 and E2 transitions

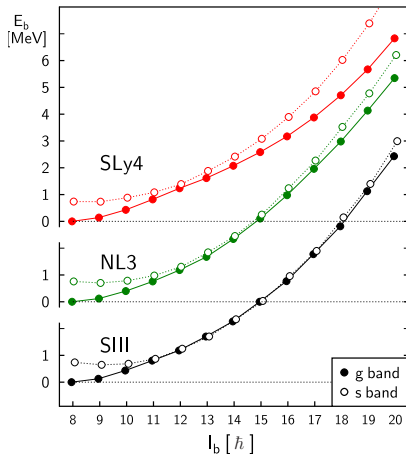
In-band



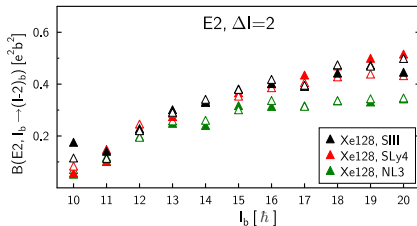
Inter-band



# Jądro odd-odd z rdzeniem $^{128}\text{Xe}$

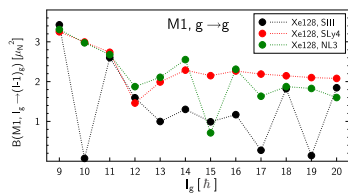


## E2 in-band transitions

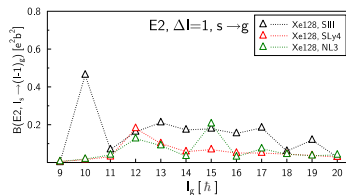
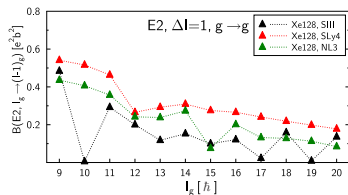
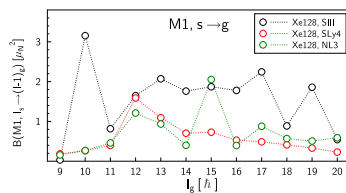


Jądro odd-odd z rdzeniem  $^{128}\text{Xe}$ , cd.Przejścia  $\Delta I = 1$  M1 i E2

In-band



Inter-band



## Kilka uwag

- Dublety pasm nie wymagają istnienia sztywnej deformacji
- Symetria  $S$  — pożyteczna w obliczeniach modelowych (tylko?)
- Dublety typu chiralnego można otrzymać dla rdzeni „mikroskopowych”